

Письма в ЖЭТФ, том 12, стр. 359 – 362

5 октября 1970 г.

ВЛИЯНИЕ ПАРАЛЛЕЛЬНОЙ НАКАЧКИ НА ЯДЕРНОЕ ЭХО В ИТТРИЕВОМ ФЕРРИТЕ ГРАНАТЕ

М.П.Петров, В.Ф.Пашин, А.П.Паутур

В данной работе сообщается об экспериментальном наблюдении некоторых новых эффектов, обусловленных взаимодействием ядерных магнитных моментов с параметрическими спиновыми волнами в феррите гранате иттрия.

Эксперимент заключается в следующем. Наблюдается эффект ядерного спинового эха от ядер Fe^{57} в $\text{Y}_3\text{Fe}_5\text{O}_{12}$. Кроме радиочастотных импульсов на частоте ЯМР на образец подается мощный СВЧ импульс (частота 9640 мГц длительность 1 $\mu\text{сек}$), превышающий порог нестабильности спиновых волн (рис. 1, а). СВЧ поле прикладывается параллельно внешнему магнитному полю. Обнаружено изменение интенсивности (ΔI) сигнала эха под действием СВЧ накачки.

Появление ядерного эха можно представить следующим образом [1]. После первого радиоимпульса, который поворачивает ядерную намагниченность на 90° относительно равновесного направления (ось z), происходит "рассыпание" суммарного вектора ядерной намагниченности в веер из отдельных компонент, так как из-за неоднородного уширения линии ЯМР резонансные частоты для различных компонент различны. Затем после второго (180° -градусного) импульса про-

исходит сворачивание веера и появление снова результирующей ядерной намагниченности, вращающейся в плоскости перпендикулярной оси z . Для того, чтобы сформировалось эхо требуется строгое выполнение фазовых соотношений для различных компонент. А именно, различие в фазах прецессии отдельных компонент, накапливающееся в интервале времени τ_d , должно быть полностью скомпенсировано в результате движения ядерных моментов после второго импульса. Только при совпадении фаз прецессии отдельных компонент появляется сигнал эха. Поперечная ядерная релаксация обусловлена необратимой расфазировкой ядерных компонент и она является причиной уменьшения сигнала эха с увеличением времени задержки τ_e .

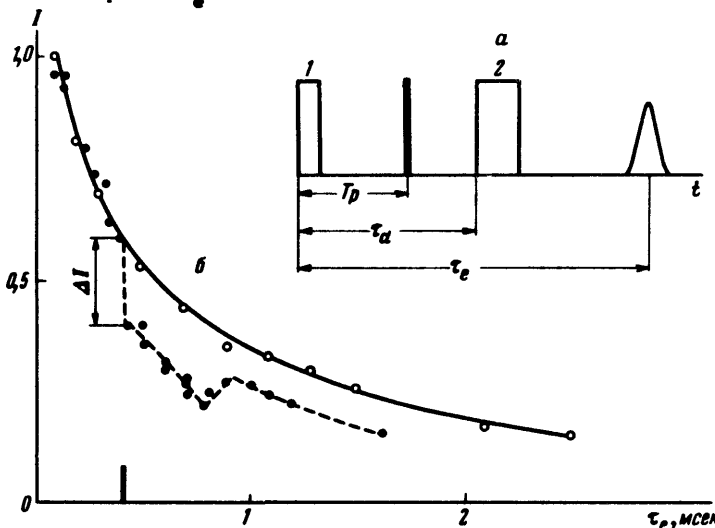


Рис. 1. а – временная диаграмма последовательности включения радиочастотных импульсов (№ 1 и 2), СВЧ импульса T_p и появления эха ($\tau_e = 2\tau_d$); б – зависимость интенсивности сигнала эха в относительных единицах от времени задержки эха для ядер ^{57}Fe в ϕ -подрешетке $\text{Y}_3\text{Fe}_5\text{O}_{12}$. $T = 140^\circ\text{K}$, внешнее поле $H = 800$ э. Сплошная линия – в отсутствие СВЧ накачки, пунктирная линия – подан СВЧ импульс в момент $T_p = 400$ мксек с превышением пороговой мощности на 7 дБ.

На рис. 1, б показана зависимость интенсивности сигнала эха от τ_e без СВЧ импульса и при наличии импульса, который был подан на расстоянии $T_p = 400$ мксек после импульса 1. Из рисунка видно, что при $\tau_e > T_p$ интенсивность сигнала эха меньше, чем в отсутствие накачки. Изменение интенсивности (ΔI) на этом графике появляется тогда, когда СВЧ импульс совмещается с сигналом эха, и затем ΔI существует при любом положении СВЧ импульса внутри интервала $T_p < \tau_e$. Кроме того наблюдается некоторая аномалия в интенсивности эха, когда СВЧ импульс совмещается с радиочастотным импульсом 2. Как видно из рис. 2 эффект имеет место тогда, когда ядерная намагниченность отклонена от своего равновесного направления. Эффект уменьшается при совмещении СВЧ импульса с серединой второго радиочастотного импульса. Напомним, что в этот момент компоненты ядерной намагниченности, дающие вклад в эхо, направлены вдоль (параллельно и антипараллельно) оси z .

Подобное поведение интенсивности сигнала эха можно объяснить если предположить, что в результате СВЧ накачки уменьшается время поперечной ядерной релаксации T_2 . Наблюдаемое изменение интенсивности сигнала эха при превышении порога нестабильности на $5 - 10 \text{ дБ}$ соответствует изменению T_2 от первоначального значения $\sim 10^{-3} \text{ сек}$ до величины $T_2 \sim 10^{-5} + 10^{-6} \text{ сек}$. Можно рассчитать T_2 , обусловленное параметрическими спиновыми волнами, и оказывается, что для простейшего ферромагнетика

$$\frac{1}{T_2} = \frac{\omega_0^2}{S^2} \frac{n_k^2}{N^2} \frac{1}{\gamma \Delta H_K},$$

где ω_0 – частота ЯМР, S – электронный спин, n_k – число параметрических спиновых волн с заданным волновым вектором K , γ – гиromагнитное отношение для электрона, ΔH_K – затухание параметрической спиновой волны, N – число магнитных ионов.

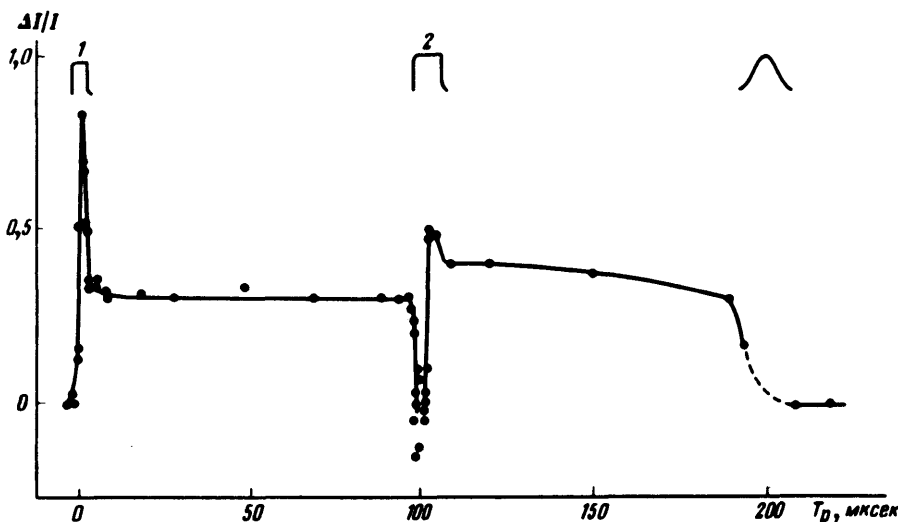


Рис. 2. Интенсивность эффекта $\Delta I / I = (I - I') / I$ для обычного эха от положения СВЧ импульса, I – интенсивность сигнала без накачки, I' – интенсивность сигнала с накачкой

Принимая $\omega_0 = 2\pi 63,7 \cdot 10^6 \text{ сек}^{-1}$, $S = 5/2$, $n_k/N \approx 10^{-2}$ и $\Delta H_K = 0,2 \text{ эз}$ [2], получаем $T_2 = 1,4 \cdot 10^{-6} \text{ сек}$, что согласуется с экспериментом.

Если предложенный механизм верен, то СВЧ импульс при определенных значениях T_p не должен влиять на так называемое стимулированное эхо [1]. Стимулированное эхо возникает при подаче на образец трех радиочастотных импульсов. В простейшем случае все три импульса принимаются 90-градусными. Тогда в промежутке между вторым и третьим импульсом ядерная намагниченность имеет компоненты направленные вдоль оси z . В этот период фазовая коherентность отдельных компонент сохраняется так как поперечной релаксации нет. Следовательно, изменения интенсивности эха не должно быть, если СВЧ импульс подается внутри этого временного интервала. Этот вывод оказался

в полном соответствии с экспериментальной проверкой (рис. 3). На опыте было установлено, что интенсивность стимулированного эха практически не изменяется ($\Delta I / I \approx 0$), когда СВЧ импульс расположен между вторым и третьим радиочастотными импульсами. В то же время эффект существует ($\Delta I / I \neq 0$) при других значениях T_p .

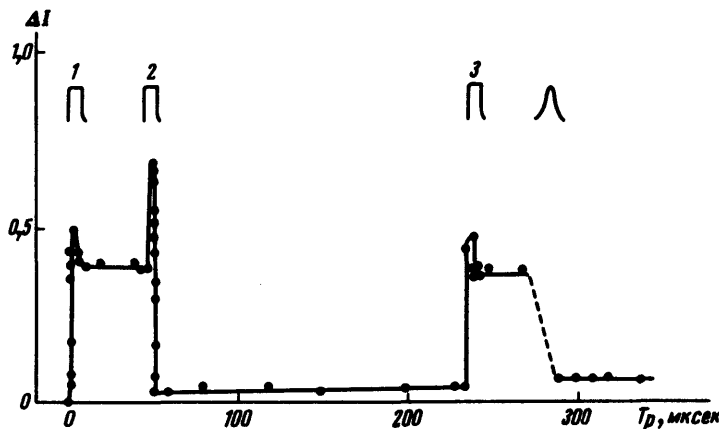


Рис. 3. Интенсивность эффекта $\Delta I / I$ для стимулированного эха в зависимости от положения СВЧ импульса

Кроме описанных явлений исследовалась также зависимость эффекта $\Delta I / I$ от мощности СВЧ импульса и от величины волнового вектора параметрических спиновых волн. Установлено, что $\Delta I / I$ возрастает с увеличением мощности после достижения порога нестабильности, а также увеличивается с уменьшением K .

Обнаруженные эффекты могут быть использованы для исследования запорового состояния в магнитоупорядоченных кристаллах, определения параметров затухания спиновых волн, для изучения электронно-ядерных взаимодействий, для наблюдения за динамикой движения ядерной намагниченности, а также для подавления перекрестных сигналов эха в многоимпульсных экспериментах.

Авторы благодарят Г.А.Смоленского за интерес к работе и полезные обсуждения.

Институт полупроводников
Академии наук СССР

Поступила в редакцию
28 августа 1970 г.

Литература

- [1] E.L.Hahn. Phys. Rev., 80, 580, 1950.
- [2] R.C.Le Craw, E.G.Spencer. J.Phys. Soc. Japan, S., 17, 401, 1962.